

บทที่ 2

ทฤษฎี

2.1 สารกึ่งตัวนำ (semiconductors) [3]

สารกึ่งตัวนำ (semiconductors) ที่มีสมบัติเป็นตัวนำ หรือสื่อไฟฟ้าก้าวกระหว่างโลหะกับอโลหะหรืออนุน ความเป็นตัวนำไฟฟ้าขึ้นอยู่กับอุณหภูมิ และสิ่งไม่นับริสุทธิ์ที่มีเจือปนอยู่ในวัสดุพวกนี้ ซึ่งอาจเป็นธาตุหรือสารประกอบก็มี เช่น ธาตุเจอร์เมเนียมซิลิคอน ซิลีเนียม และตะกั่วเหล็ก แรด เป็นต้น วัสดุกึ่งตัวนำพวกนี้มีความต้านทานไฟฟ้าลดลงเมื่ออุณหภูมิสูงขึ้น ซึ่งเป็นลักษณะตรงข้ามกับโลหะ

ที่อุณหภูมิสัมฤทธิ์สมบูรณ์ วัสดุพวกนี้จะไม่ยอมให้ไฟฟ้าไหลผ่านเลย เพราะเนื้อวัสดุเป็นผลึกโควาเลนต์ ซึ่งอิเล็กตรอนทั้งหลายจะถูกตรึงอยู่ในพันธะโควาเลนต์หนด (พันธะที่ยึดเหนี่ยวระหว่างอะตอม) แต่ในอุณหภูมิห้อง อิเล็กตรอนบางส่วนมีพลังงาน เนื่องจากความร้อนมากพอที่จะหลุดไปจากพันธะ ทำให้เกิดที่ว่างขึ้น อิเล็กตรอนที่หลุดออกมานี้เป็นสาเหตุให้สารกึ่งตัวนำสามารถนำไฟฟ้าได้เมื่อมีสนามไฟฟ้ามาต่อเข้ากับสารนี้

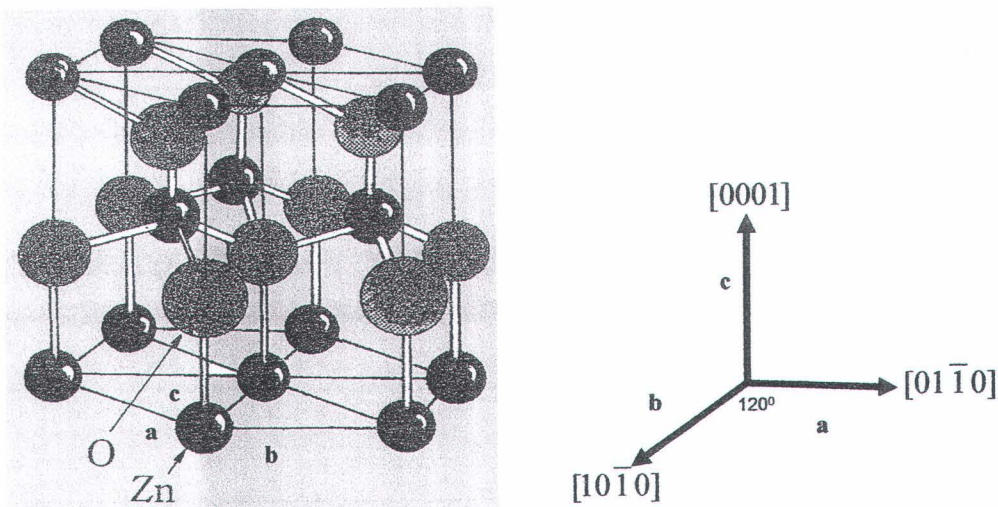
ส่วนสารกึ่งตัวนำของโลหะออกไซด์ ก็จะมีพฤติกรรมเหมือนกับสารกึ่งตัวนำทั่วไปแต่จะมีแบบพลังงาน (energy gap) ที่กว้างกว่า คือประมาณ 2 eV ขึ้นไป จึงต้องให้อุณหภูมิกับสารกึ่งตัวนำของโลหะออกไซด์สูงถึง $100 - 600^{\circ}\text{C}$ เพื่อให้โลหะออกไซด์พวนนี้นำไฟฟ้าได้ ตัวอย่างของสารกึ่งตัวนำของโลหะออกไซด์ที่มีแบบพลังงานกว้าง พวgnic คือ TiO_2 , ZnO , Fe_2O_3 , MoO_3 และ SnO_2

โลหะออกไซด์ของสารกึ่งตัวนำ (Metal oxide semiconductor, MOS) เช่น ZnO นิยมนำมาทำเป็นหัวตรวจจับสารพิษหรือก๊าซได้ หัวตรวจจับนี้จะมีสภาพความนำไฟฟ้าต่ำในอากาศแต่จะมีสภาพความนำไฟฟ้าสูงเมื่อมีก๊าซอื่น เช่น ก๊าซการรบอนมอนออกไซด์ หรือไอกอทานอลมาสัมผัส เป็นต้น



2.2 สมบัติของสารซิงก์ออกไซด์ (ZnO properties) [25]

สารซิงก์ออกไซด์มีโครงสร้างแบบเซกแซ่ โภโนล (hexagonal structure) มีสมบัติทางกายภาพบางประการ ดังแสดงในตารางที่ 2.1 เมื่อจากสารซิงก์ออกไซด์มีโครงสร้างแบบเซกแซ่ โภโนล ดังนี้การอธินายระนาบผลึกของสารซิงก์ออกไซด์ด้วยระบบ (hkl) จึงไม่เหมาะสมคือไม่สามารถอธินายได้ดี เพราะเวกเตอร์ a และ เวกเตอร์ b ในกระบวนการนักทิศทางในผลึก ไม่ว่าด้วยอยู่ในทิศของแกน x หรือ y โดยที่ a และ b ทำมุมกัน 120° องศา ดังรูปที่ 2.1 ดังนี้จึงทำให้การอธินายระนาบผลึกในโครงสร้างเซกแซ่ โภโนลจำเป็นต้องใช้ตัวแปรถึง 4 ตัว คือเพิ่มตัวแปร i โดยที่ $i = -(h+k)$ ซึ่งจะเป็นระบบ ($hkil$) ยกตัวอย่างเช่น ระนาบ (110) เป็น ($11\bar{2}0$) เป็นต้น ซึ่งระบบ ($hkil$) มีประโยชน์อย่างมากในการใช้อธินายโครงสร้างของผลึกที่เกี่ยวกับการวิเคราะห์หาระนาบที่เท่ากัน แต่ระบบ (hkl) ต่างกัน ยกตัวอย่างระนาบ (110) เมื่อใช้ระบบ ($hkil$) จะสามารถหาระนาบอื่นๆ ได้คือ (110) และ ($-1-10$) แต่เมื่อใช้ระบบ ($hkil$) แล้วจะได้ระนาบ ($11\bar{2}0$) ($-1-120$) ($2-1-10$) (-2110) ($-12-10$) และ ($1-210$) เป็นต้น



รูปที่ 2.1 โครงสร้างสารซิงก์ออกไซด์ [31]

สำนักงานคณะกรรมการวิจัยแห่งชาติ
พัฒนาศูนย์รวมวิจัย
วันที่..... ๑๒ ส.ค. ๒๕๖๖
เลขทะเบียน..... 248005
เลขเรียกหนังสือ.....

ตารางที่ 2.1 สมบัติภายในพ่างประการของสารซิงก์ออกไซด์ [32]

Property	Value
Density	5.606 g cm ⁻³
Stable phase at 300 K	Wurtzite
Melting point	1975°C
Boiling point	-
Thermal conductivity	1.15 W/cm ⁰ C
Linear expansion coefficient (/K)	$a_0: 6.5 \times 10^{-6}$ $c_0: 3.0 \times 10^{-6}$
Static dielectric constant	8.656
Refractive index	2.008, 2.029
Energy gap (direct)	3.4 eV
Intrinsic carrier concentration	<10 ⁶ cm ⁻³
Exciton binding energy	60 meV
Intrinsic carrier concentration	<10 ⁶ cm ⁻³
Exciton binding energy	60 meV
Electron effective mass	0.24
Electron Hall mobility at 300 K for low n-type conductivity	200 cm ² V ⁻¹ s ⁻¹
Hall effective mass	0.59
Hole Hall mobility at 300 K for low p-type conductivity	5-50 cm ² V ⁻¹ s ⁻¹

2.3 จลนศาสตร์การโตของ ZnO whiskers (Growth mechanism of ZnO whiskers)

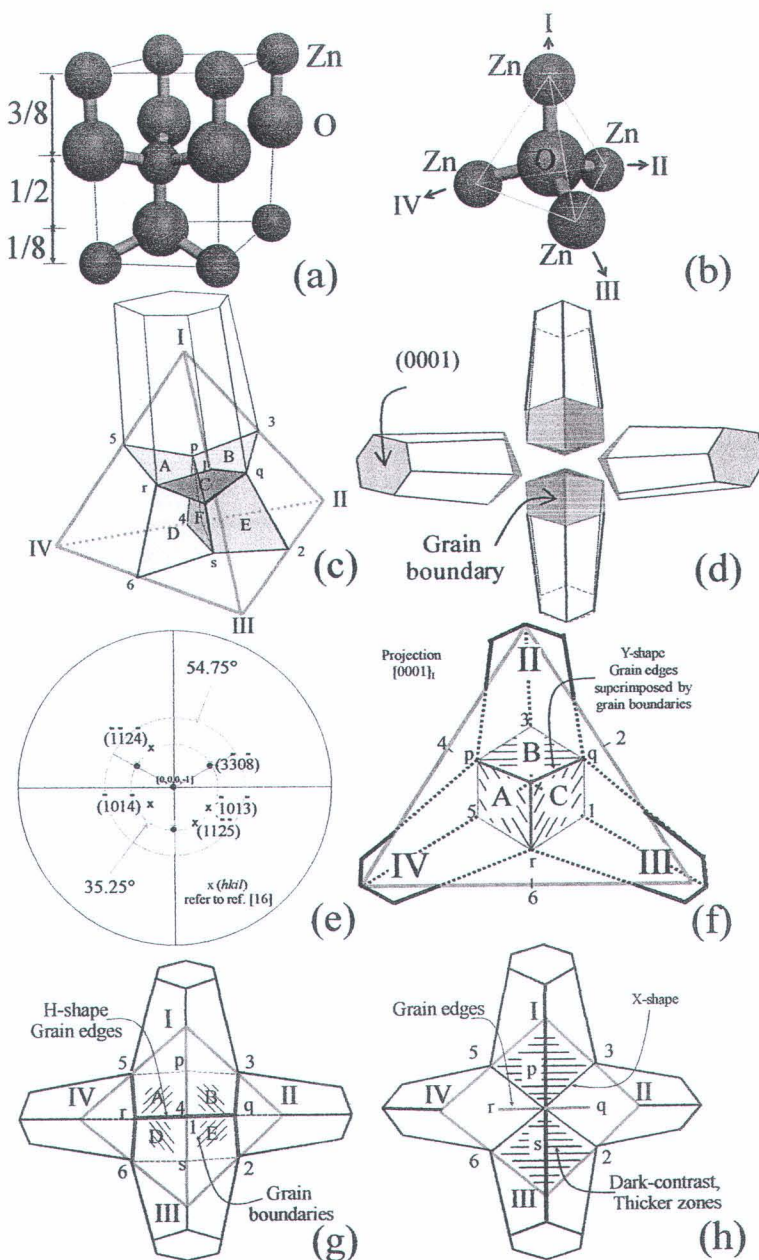
โดยทั่วไปแล้วการอธิบายจลนศาสตร์การโตของผลึกที่มีโครงสร้างแบบเส้นลวดนาโน (nanowire), เส้นเข็มขัดนาโน (nanobelt), แท่งนาโน (nanorod) และวิสเกอร์ (whisker) ที่เกิดจากกระบวนการควบแน่นแบบสถานะก๊าซกล้ายเป็นของแข็ง (vapor-solid mechanism) จะพิจารณาจากความน่าจะเป็นในการเกิด nucleation หรืออาจเรียกว่าความน่าจะเป็นในการเกิดจุดกำเนิดของผลึก ซึ่งสามารถแสดงด้วยสมการ [21, 33, 34, 35]

$$P = B \exp\left[\frac{-\pi\sigma^2}{k_B T^2 \ln \alpha}\right] \quad (2.1)$$

เมื่อ	B	คือ ค่าคงที่ Faraday ค่าคงที่ Faraday
	σ	คือ พลังงานพื้นผิวของผลึก
	k_B	คือ ค่าคงที่ Boltzman
	T	คือ อุณหภูมิสัมบูรณ์
และ	α	คือ super saturation ratio ระหว่าง actual vapor pressure และ equilibrium vapor pressure ที่อุณหภูมิ T (โดยที่ $\alpha > 1$)

ซึ่งเมื่อพิจารณาจากสมการ ความน่าจะเป็นในการเกิด nucleation มีผลมาจากการตัวแปร supersaturation ratio และค่าพลังงานพื้นผิว (surface energy) โดยปกติแล้วค่า α จะมีค่ามากกว่า 1 เสมอ และค่าพลังงานพื้นผิวจะขึ้นอยู่กับขนาดของผลึกของของแข็งนั้นๆ ซึ่งในผลึกของสาร ZnO ค่าพลังงานพื้นผิวที่น้อยที่สุด คือ ประมาณ 0001 และค่าเพิ่มขึ้นเมื่อยิ่งในระนาบ 10-10 และ 11-20 ตามลำดับเป็นต้น [36, 37] ดังนั้นอาจจะกล่าวได้ว่า ที่ประมาณ 0001 หรือทิศทางการเกิดผลึกทิศ 0001 มีความน่าจะเป็นมากที่สุด เมื่อเทียบกับทิศทางต่างๆ

สำหรับตัวแปร supersaturation ratio นั้นจะเป็นส่วนสำคัญที่จะกำหนดรูปร่างของผลึกที่เกิดขึ้นว่าจะเกิดเป็น wire – like หรือ belt – like โดยเมื่อค่า supersaturation ratio มีค่าน้อย ๆ จะส่งผลให้เกิดโครงสร้างแบบ wire – like ในทางตรงกันข้ามถ้าค่า supersaturation ratio มีค่ามาก ๆ จะทำให้เกิดการโตของผลึกใน 2 มิติ ทำให้เกิดโครงสร้างแบบ belt – like



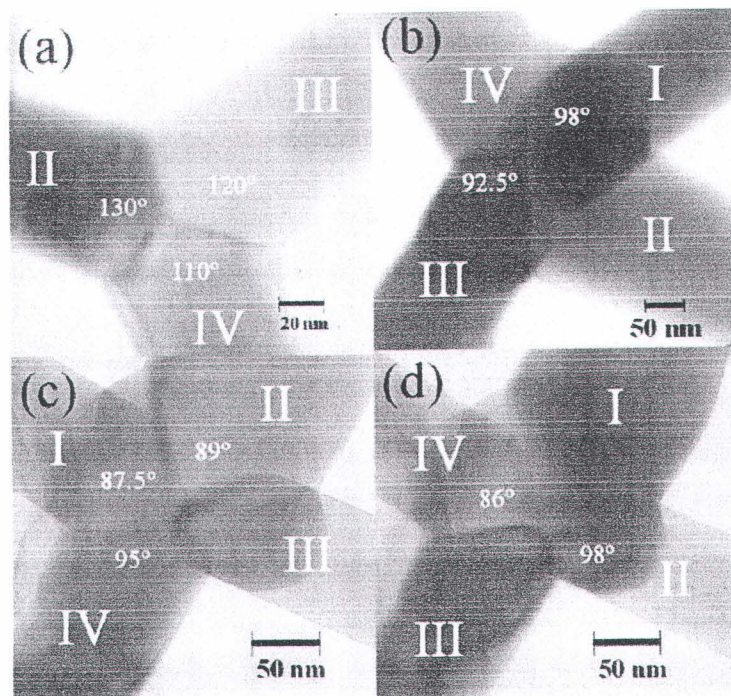
รูปที่ 2.2 (a) unit cell ของโครงสร้าง ZnO (b) tetrahedral construction ของ Zn atom (c) grain edges และ grain boundaries ของ tetrapod nucleation (d) ขาทั้งสี่ของ T-ZnO ลักษณะเป็น wedge-shape แยกออกจาก grain boundary ทั้งสี่ (e) stereographic projection ทิศทาง 0001 โครงสร้างเซกชันโคนอล (f) ระนาบสามเหลี่ยมด้านข้าง (g) edges ของ tetrapod nucleation (h) projection จากรูป (g)

เมื่อพิจารณา unit cell ของสารซิงก์ออกไซด์ แสดงดังรูป 2.2 (a) จะสังเกตได้ว่า อะตอนของออกซิเจน หรืออะตอนของสังกะสี จะถูกล้อมรอบด้วยอะตอนตรงข้าม 4 อะตอน และมีโครงสร้างเป็นแบบ tetrahedral หรือพิระมิดฐานสามเหลี่ยม แสดงรายละเอียดดังรูป 2.2 (b) ซึ่งเมื่อพิจารณาความสมมาตรของโครงสร้างดังกล่าว จะเห็นได้ว่าจะมีทิศทางที่พุ่งออกจากใจกลางไปสู่ด้านของพิระมิดทั้ง 4 ด้านมีความสมมาตรกัน หรือเสมือนว่ามีทิศทาง 0001 ทั้ง 4 ทิศทางพุ่งออกมานา

เมื่อพิจารณากระบวนการเกิดเตตะพอดซึ่งเป็นการเกิด nucleation แบบ 3 มิติ การโตของผลึกจะเกิดขึ้นอย่างรวดเร็ว และเกิดในทิศทาง 0001 ซึ่งมีความน่าจะเป็นมากที่สุด ดังที่กล่าวไว้ข้างต้น ดังนั้นทิศทางการโตของผลึกจะพุ่งออกตามทิศ I II III IV ในรูป 2.2 (b) และมีทิศ 0001 ในโครงสร้างเชกยะ โภนอล จากปรากฏการณ์นี้โครงสร้างแบบเตตะพอดจะถูกสร้างขึ้นมาและพร้อมโตเป็นโครงสร้างที่ใหญ่ขึ้น

ดังนั้นเมื่อพิจารณาความสมมาตรในโครงสร้างพิระมิดฐานสามเหลี่ยม สามารถแบ่งออกเป็นผลึก 4 ผลึก และแต่ละผลึกเชื่อมต่อกันแสดงได้ดังรูป 2.2 (c) และ 2.2 (d) และเมื่อหันนูนโครงสร้างพิระมิดฐานสามเหลี่ยมโดยให้ทิศของชา I มีทิศตั้งฉากกับหน้ากระดาษ รูปร่างของของรอยต่อแต่ละผลึกจะมีลักษณะเหมือนกับอักษร Y แสดงดังรูป f แต่เมื่อหันนูนโครงสร้างพิระมิดฐานสามเหลี่ยมโดยให้แต่ละข้างของเตตะพอดมีทิศอยู่ในแนวราบ แสดงดังรูป 2.2 (g) และ 2.2 (h) และรูปร่างของสันผลึกจะมีรูปร่างของของรอยต่อแต่ละผลึกจะมีลักษณะเหมือนกับอักษร H และรูปร่างของสันผลึกจะมีลักษณะเหมือนกับอักษร X ตามลำดับ ซึ่งมีหลักฐานแสดงด้วยภาพ TEM [21] แสดงดังรูปที่ 2.3

ในการอุดมคติแล้วมุ่งระหว่างขาแต่ละข้างของเตตะพอดจะมีค่าเท่ากับ 109.5° โดยที่เมื่อพิจารณาด้วย stereographic projection ระนาบที่ชนกันในแต่ละของผลึกจะต้องเป็นระนาบ 30-38 ซึ่งเป็นระนาบที่มีค่าดัชนีสูงมาก แต่ว่าจากผลการทดลองจริงพบว่ามุ่งระหว่างขาแต่ละขาจะมีค่าไม่เท่ากันและส่วนมากไม่เท่ากับ 109.5° เนื่องจากมีผลมาจากค่าพลังงานพื้นผิว ซึ่งระนาบที่เป็นไปได้แสดงด้วยสัญญาลักษณ์ x [21] ในรูป 2.2 (e)



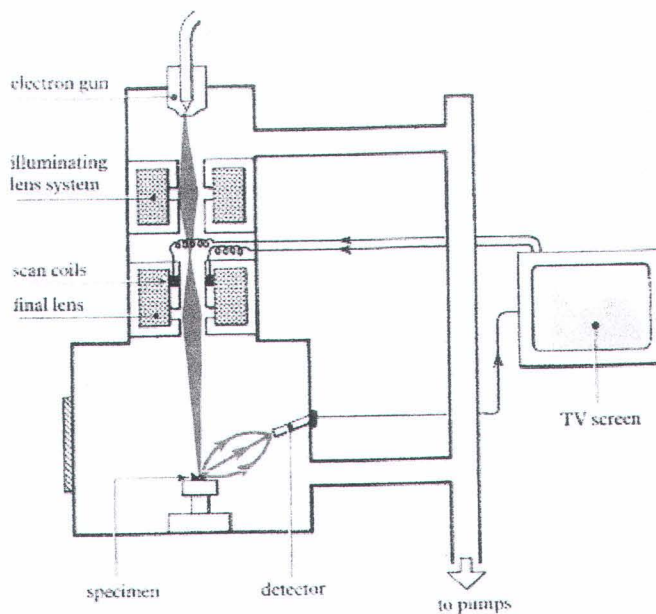
รูปที่ 2.3 ภาพ TEM ของ T-ZnO (a) Y shape (b) X shape (c) and (d) H shape

2.4 การศึกษาโครงสร้างพื้นผิวโดยใช้กล้องจุลทรรศน์อิเล็กตรอนแบบส่องกราด (Scanning electron microscope, SEM) [38]

กล้องจุลทรรศน์อิเล็กตรอนแบบส่องกราดประกอบด้วย โครงสร้างที่สำคัญ 5 ส่วนคือ¹

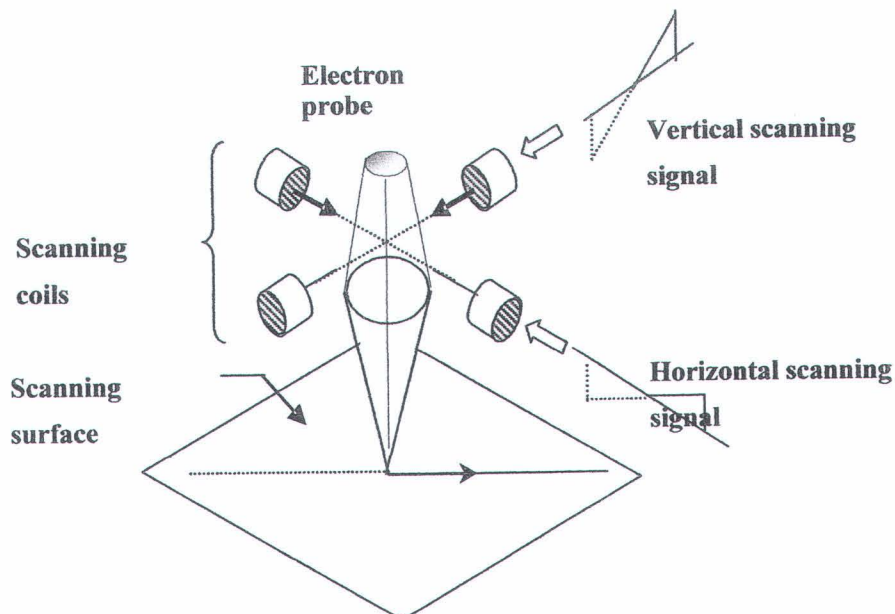
- ระบบอิเล็กตรอนออพติก (electron optics system)
- ระบบสูญญากาศ (vacuum system)
- ระบบระบายความร้อน (cooling system)
- ระบบจ่ายกำลังไฟฟ้า (power supply system)
- ระบบสร้างและบันทึกภาพ (image translating and photo recording)

และมีองค์ประกอบภายในกล้อง SEM ดังแสดงในรูป 2.4 การสร้างภาพของกลุ่มสัญญาณในกล้อง SEM เพื่อใช้ในการศึกษาโครงสร้างพื้นผิวของชิ้นตัวอย่าง การสร้างภาพจะต้องบีบลำอิเล็กตรอน ด้วยเลนส์օพเจกทิฟ จนมีลักษณะเป็น electron probe ไฟกัลลงบนชิ้นตัวอย่าง สัญญาณ อิเล็กตรอนจึงเกิดเฉพาะจุดที่ปลาย electron probe สำหรับการสร้างภาพไม่สามารถฉายไปบนจานเรืองแสง จึงจำเป็นต้องอาศัยระบบส่องกราดบนตำแหน่งที่กำหนดบนชิ้นตัวอย่าง และเลือก รับสัญญาณอิเล็กตรอนชนิดใดๆ จุดต่อจุดที่ปลาย electron probe ที่เลื่อนไป เพื่อนำไปสร้างภาพ ขยายที่เข้าจังหวะกัน (synchronize) บนพื้นที่ของจอภาพแคล็อกเดรย์



รูปที่ 2.4 องค์ประกอบภายในกล้องจุลทรรศน์อิเล็กตรอนแบบส่องกราด [39]

ในกล้อง SEM จึงต้องมีชุดคลาวด์แม่เหล็กไฟฟ้าควบคุมการส่องกราด (scanning coil) และชุดกำเนิดภาพเพิ่มขึ้น ชุดควบคุมการส่องกราดจะทำหน้าที่บังคับให้ electron probe เคลื่อนในแนวแกนนอนและแกนตั้งบนระนาบของตัวอย่างเป็นพื้นที่สี่เหลี่ยมผืนผ้าคล้ายระบบแกนของโทรศัพท์ดังรูปที่ 2.5



รูปที่ 2.5 probe อิเล็กตรอนเคลื่อนในแนวแกนนอนและแกนตั้งบนระนาบของตัวอย่าง [40]

2.5 การวิเคราะห์โครงสร้างผลึกโดยใช้การเลี้ยวเบนรังสีเอ็กซ์ (X-ray diffraction, XRD) [41]

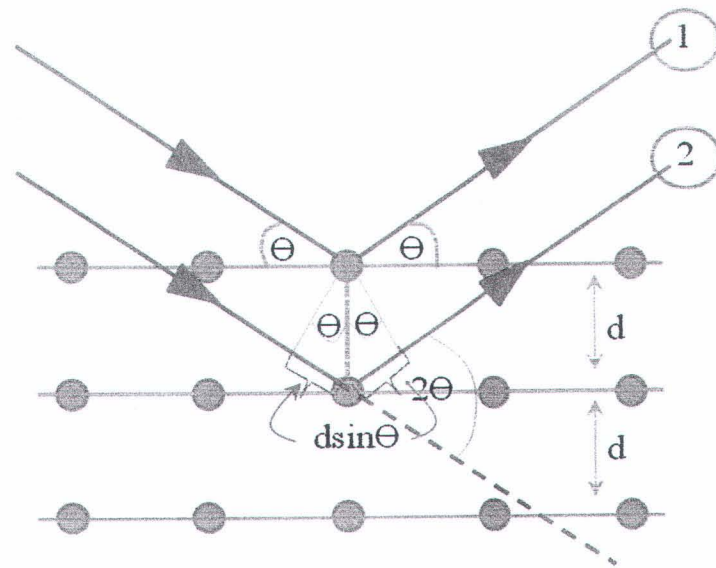
ในปี ค.ศ.1895 W.C. Rontgen ได้ค้นพบรังสีเอ็กซ์ (x-ray) ซึ่งเป็นสเปกตรัมของการแผ่วรังสีแม่เหล็กไฟฟ้าช่วงหนึ่ง มีความยาวคลื่นอยู่ในช่วง $0.1 - 100 \text{ \AA}$ หรือ $0.01 - 10 \text{ nm}$ รังสีเอ็กซ์จัดว่าเป็นแหล่งพลังงานที่สำคัญในการศึกษาทางวิทยาศาสตร์หลายด้าน อย่าง ดังที่มีผู้ได้รับรางวัลโนเบลไปแล้วหลายท่าน ซึ่งล้วนแล้วแต่ศึกษาเกี่ยวกับสมบัติและการเกิดอันตรายของรังสีเอ็กซ์ กับสารทั้งสิ้น การเกิดอันตรายของรังสีเอ็กซ์กับสารนั้นก่อให้เกิดปรากฏการณ์ต่างๆ เช่น เกิดการเปล่งแสงบางชนิด (emission) การดูดกลืน (absorption) การกระเจิง (scattering) หรือเกิดการเลี้ยวเบน (diffraction) เป็นต้น ปรากฏการณ์เหล่านี้เป็นลักษณะเฉพาะ (characteristic) ของแต่ละสารที่เราสามารถนำมาระบุได้ ดังนี้คือ

1. ใช้วิเคราะห์ทางคุณภาพของธาตุต่างๆ ใน (elemental analysis) ทั้งในเชิงคุณภาพ (qualitative) และปริมาณ (quantitative)
2. ใช้ศึกษาโครงสร้างอิเล็กทรอนิกส์ (electronic structure) ซึ่งสามารถให้ข้อมูลเกี่ยวกับการเกิดพันธะเคมี (chemical bonding)
3. ใช้ศึกษาโครงสร้างผลึก (crystal structure) หรือโมเลกุลของสารด้วยเทคนิคการเลี้ยวเบนรังสีเอ็กซ์ (x-ray diffraction)

ในการศึกษารังสีเอ็กซ์ ให้ใช้เทคนิคการเลี้ยวเบนรังสีเอ็กซ์ เพื่อศึกษาโครงสร้างผลึกของซึ่งก็ออกใช้ค์เตตระโพด การวิเคราะห์สารตัวอย่าง โดยใช้เทคนิคการเลี้ยวเบนรังสีเอ็กซ์เป็นวิธีที่รวดเร็วและตรวจสอบได้ง่าย ใช้สารปริมาณน้อย สะดวกและรวดเร็ว เมื่อฉายรังสีเอ็กซ์ลงไปยังสารตัวอย่าง โดยมีค่าความยาวคลื่นที่แน่นอน โดยกำหนดคุณที่รังสีตัดกับสารตัวอย่าง พบว่ามุมที่รังสีสีสะท้อนออกมายังเกิดการแทรกสอดเกิดขึ้นที่มุมสะท้อนค่าหนึ่ง ซึ่งสามารถวัดออกมายโดยใช้ฟิล์มถ่ายรูปหรือต่อกับเครื่อง diffractometer นำมาเขียนเป็นกราฟความสัมพันธ์ระหว่างความเข้มของรังสีที่สะท้อนออกมายังมุมที่เลี้ยวเบนจากแนวเดิม ซึ่งจะได้สเปกตรัมของสารตัวอย่างมา จากค่าความเข้มของรังสีที่สะท้อนออกมายังมุมที่เลี้ยวเบนนำมารวบรวมหาค่าความยาวคลื่นของรังสีเอ็กซ์ และค่ามุมที่เลี้ยวเบนนำมาคำนวณหาค่าความหนาของชั้นผลึกของสารที่รังสีเอ็กซ์ไปตกกระทบแล้ว สะท้อนกลับหรือค่า d -spacing ได้

Bragg ได้แสดงการเกิดดิฟแฟร์กชันอันเนื่องจากการสะท้อนด้วยรูปแบบ (hkl) ซึ่งมีระยะห่างของรูปแบบเท่ากับ d ดังแสดงในรูปที่ 2.6





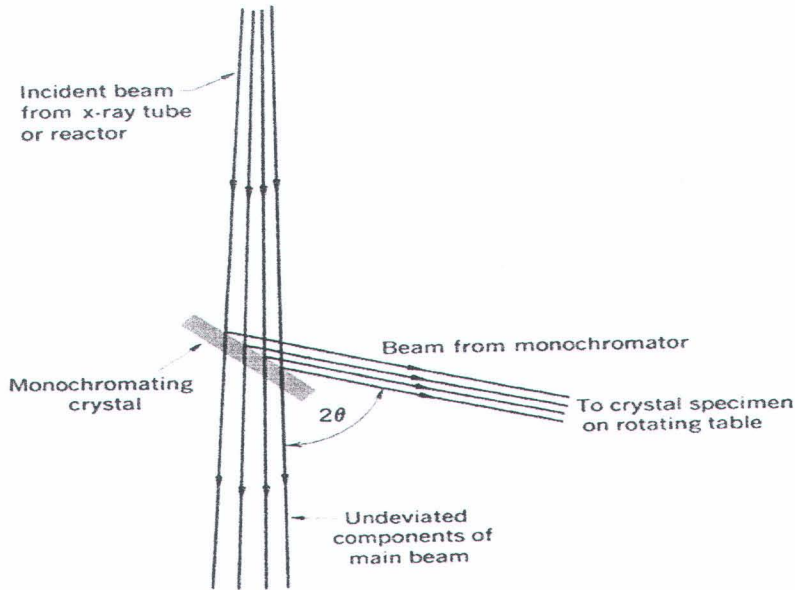
รูปที่ 2.6 การสะท้อนของรังสีเอ็กซ์จากระนาบผลึกที่นานกันและระยะห่างของระนาบเท่ากับ d

จากรูปที่ 2.6 ถ้าให้มุมตkehreb และมุมดิฟเฟρกชันเท่ากับ θ รังสีดิฟเฟρกชันจะเกิดการแทรกสอดแบบเสริมสร้างได้ในกรณีที่ความแตกต่างของระยะทางการเดินทางของรังสีทั้ง 2 เส้น (เส้น 1 และ 2) มีค่าเป็นจำนวนเต็มเท่าของความยาวคลื่น นั่นคือ

$$2ds\sin\theta = n\lambda \quad (2.2)$$

สมการนี้เรียกว่า เงื่อนไขการดิฟเฟρกชันของ Bragg โดยที่สมการนี้จะเกิดขึ้นได้เมื่อ $\lambda \leq 2d$

ซึ่งในการทดลองจะวัดมุมที่กระเจิงออกจากแนวรังสีเดิม ซึ่งจะมีค่าเท่ากับ 2θ แสดงดังรูปที่ 2.7



รูปที่ 2.7 การวัดมุมจากการเลี้ยงเบนรังสีเอ็กซ์

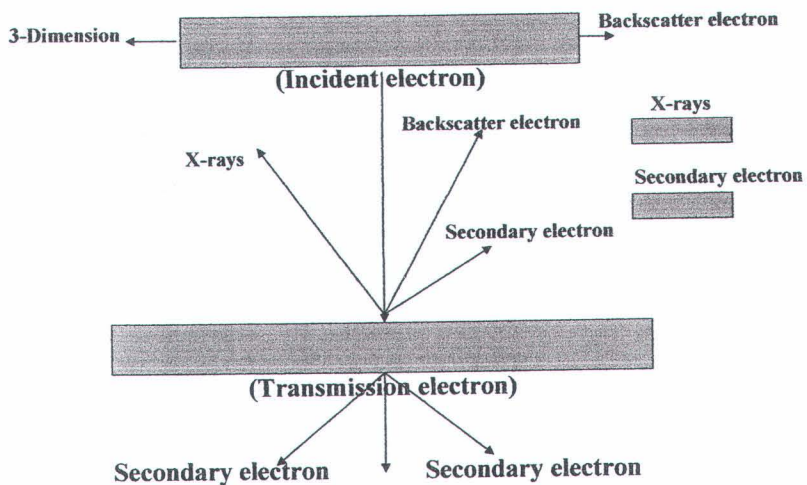
ในการทดลองจะได้กราฟระหว่างความเข้มของรังสีเอ็กซ์ กับค่ามุม 2θ ซึ่งกราฟที่ได้จากวิเคราะห์จะระบุรูรนาบซึ่งเป็นเลขดัชนี miller (hkl) ไว้ จากราฟสามารถคำนวณหาค่า d แล้วนำไปคำนวณหาค่าคงที่แลตทิซ (lattice constant) ตัวอย่างเช่น ในโครงสร้างที่เป็น เอกะหกgonal (hexagonal phase) สามารถคำนวณหาค่า d ได้จากสมการ

$$\frac{1}{d^2} = \frac{4}{3} \left(\frac{h^2 + hk + k^2}{a^2} \right) + \frac{l^2}{c_2} \quad (2.3)$$

2.6 การศึกษาองค์ประกอบทางเคมีด้วยเทคนิคการวิเคราะห์ด้วยรังสีเอ็กซ์แบบกระจายพลังงาน (Energy dispersive spectroscope, EDS) [42, 43]

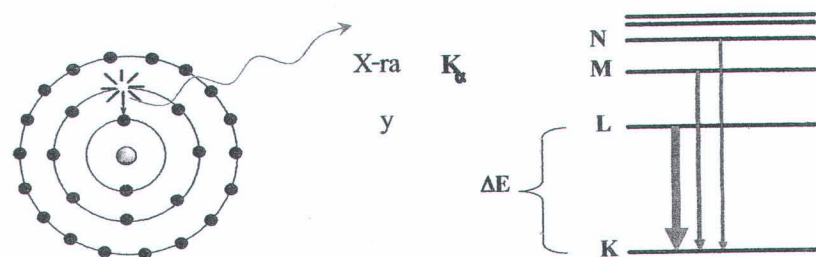
เครื่องเอ็กซ์เรย์แบบกระจายพลังงาน โดยทั่วไปแล้วติดตั้งคู่กับกล้อง SEM เพื่อใช้วิเคราะห์องค์ประกอบทางเคมีของชิ้นตัวอย่าง โดย EDS เป็นเทคนิคในระดับไมโครที่มีพื้นฐานมาจากลักษณะเฉพาะของรังสีเอ็กซ์ ซึ่งก่อให้เกิดยอดคลื่นเมื่อลำอิเล็กตรอนพลังงานสูงกระแทกกับตัวอย่างเนื่องจากธาตุแต่ละชนิดจะให้ลายพิมพ์ของスペกตรัมที่มีลักษณะเฉพาะจึงใช้ระบุชนิดของธาตุที่มีอยู่ในตัวอย่างได้ ความหนาแน่นของยอดスペกตรัมอาจใช้หาความเข้มข้นของธาตุแต่ละชนิดในตัวอย่าง สัญญาณรังสีเอ็กซ์จะถูกตรวจจับโดยหัววัด silicon-lithium ในการสร้างให้มี

ประสิทธิภาพต้องตั้งค่าหัววัดในระดับต่ำกว่าเลขอะตอมของธาตุที่จะนำมารวัด โดยทั่วไปธาตุที่หนักกว่าคาร์บอน ($Z=5$) จะสามารถตรวจวัดได้ รูปที่ 2.8 แสดงผลจากการที่อิเล็กตรอนพลังงานสูงตกกระแทบพื้นผิวของสารตัวอย่าง



รูปที่ 2.8 การเคลื่อนที่ของอิเล็กตรอนในเทคนิคการวิเคราะห์ด้วยรังสีเอ็กซ์แบบกระจายพลังงาน

หลักการทำงานของเครื่องนี้ คือเมื่ออิเล็กตรอนชนกับสารตัวอย่างจะเกิดการถ่ายเทพลังงานทำให้อิเล็กตรอนในอะตอมมีพลังงานสูงขึ้น หากพลังงานนั้นมากพอจะสามารถเอาชนะแรงขีดเหนี่ยวของนิวเคลียสได้ อิเล็กตรอนจะหลุดออกจากอะตอมโดยเปลี่ยนเป็นอิเล็กตรอนอิสระ อิเล็กตรอนในระดับพลังงานที่สูงกว่าจะเข้ามาแทนที่และปลดปล่อยพลังงานส่วนเกินออกมารูปของรังสีแม่เหล็กไฟฟ้า ที่เรียกว่า รังสีเอ็กซ์ ดังแสดงในรูปที่ 2.9

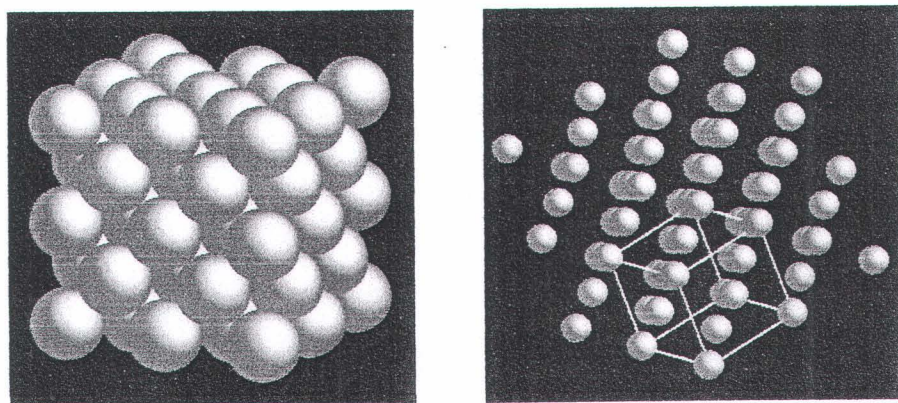


รูปที่ 2.9 การเปลี่ยนระดับชั้นพลังงานของอิเล็กตรอนภายในอะตอมส่งผลให้เกิดรังสีเอ็กซ์

ดังนั้นมีอ่อนหัวความวัดความเข้มและพลังงานของรังสีเอ็กซ์ที่เกิดขึ้น แล้วนำมาเขียนกราฟ ความสัมพันธ์ระหว่างความเข้มของรังสีเอ็กซ์และพลังงานของรังสีเอ็กซ์ จะได้สเปกตรั่มการ กระจายพลังงานของรังสีเอ็กซ์ ทำให้แยกแยะชนิดของธาตุต่างๆ ได้ ในการพิจารณาค่าพลังงานของ พิคการกระจายพลังงานของรังสีเอ็กซ์ ทำให้ระบุได้ว่าค่าพลังงานของรังสีเอ็กซ์ที่เกิดขึ้นเป็นของ ธาตุชนิดใด เพราะว่าในแต่ละค่าพลังงานของรังสีเอ็กซ์ของแต่ละธาตุมีค่าที่แน่นอน

2.7 สมบัติทางประการของทองคำ (Au properties)

ทองคำมีโครงสร้างแบบ cubic-close pack โดยมีลักษณะทางกายภาพดังรูปที่ 2.10 และ มีสมบัติทางกายภาพบางประการดังแสดงในตารางที่ 2.2

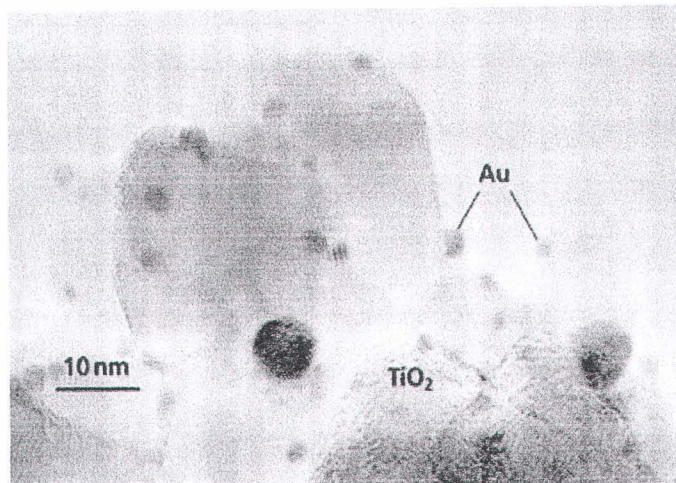


รูปที่ 2.10 โครงสร้างทองคำ [44]

ตารางที่ 2.2 สมบัติทางกายภาพบางประการของทองคำ [44]

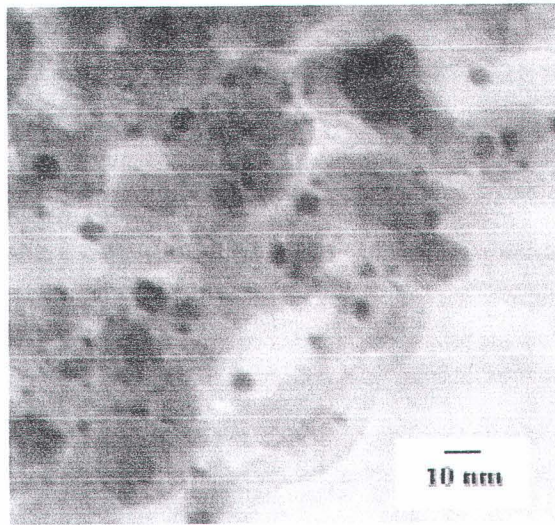
Property	Value
Density	19300 kg m^{-3}
Stable phase at 298 K	solid
Melting point	1064.18°C
Boiling point	2856°C
Thermal conductivity	$320 \text{ W m}^{-1} \text{ K}^{-1}$
Linear expansion coefficient (/K)	14.2×10^{-6}
Refractive index	-
Electrical resistivity	$2.2 \times 10^{-8} \Omega \text{ m}$

ในปัจจุบันนี้การประยุกต์ทางการแพทย์ ได้มีการนำอนุภาคทองคำ (Au) ในระดับนาโนเมตรไปใช้ในการรักษาโรคมะเร็ง นอกจากนี้ยังได้มี การใช้ทองคำเป็นสารเจือลิงไปในสารซิงก์ ออกไซด์กึ่งนำจะเป็นอีกวิธีหนึ่งที่ทำให้ประสิทธิภาพในการตรวจจับ ไอ娥ทานอลของสารซิงก์ ออกไซด์นั้นดีขึ้น ในกรณีที่ทองคำอยู่ในรูปของ bulk นั้น ทองคำจะไม่ทำปฏิกิริยาทางเคมีกับสารใดๆ และเป็นตัวเร่งปฏิกิริยาที่ไม่ดี หรือมีลักษณะเป็นวัสดุที่เนื้อຍต่อการทำปฏิกิริยา แต่ถ้าทองคำมีขนาดอนุภาคที่เล็กกว่า 10 nm จะเป็นตัวเร่งปฏิกิริยาได้ดีมากแม้ในอุณหภูมิทดสอบที่ต่ำ [45] Haruta และคณะ [46] พบว่าอนุภาคทองคำที่ใช้เป็นตัวเร่งปฏิกิริยา มีการกระจายตัวเก้าตามพื้นผิวของสารตั้งต้น เช่น ไทเทเนียม dioxide (TiO_2) ซึ่งสามารถออกไซด์ คาร์บอนมอนอกไซด์ (CO) ให้เป็นคาร์บอนไดออกไซด์ (CO_2) ได้ โดยการบอนมอนอกไซด์จะถูกกระตุ้นบนพื้นผิว (surface sites) และบริเวณขอบเขต (perimeter sites) ของทองคำ [47] ดังรูปที่ 2.11 เมื่อก๊าซคาร์บอนมอนอกไซด์รวมกับออกไซด์เงินบริเวณพื้นของสารตั้งต้นทำให้เกิดการปลดปล่อยอิเล็กตรอนออกมาน เป็นผลให้ความต้านทานของเซนเซอร์ก๊าซลดลง [48]



รูปที่ 2.11 อนุภาคนาโนทองคำที่เก้าตามพื้นของไทเทเนียมไดออกไซด์ [49]

จากรูปที่ 2.12 เป็นลักษณะของอนุภาคทองคำซึ่งมีขนาด 10 nm ที่กระจายตัวบนโครงสร้างนาโนซิงก์ออกไซด์ ซึ่งมีลักษณะคล้ายคลึงกับในกรณีของไทเทเนียมไดออกไซด์ในรูปที่ 2.11



รูปที่ 2.12 อนุภาคนาโนทองคำที่เก้าตามผิวของซิงก์ออกไซด์ [50]

แสดงให้เห็นว่าอนุภาคนาโนทองคำเป็นตัวเร่งปฏิกิริยาที่ค่อนข้าง เมื่อไม่นานมานี้ได้มีการสร้าง เอทานอลเซนเซอร์แบบท่อโดยเจือทองคำ 1% โดยมวลโดยวิธีออกซิเดชัน ทำให้มีประสิทธิภาพในการตรวจจับไออกทานอลดีขึ้น [38]

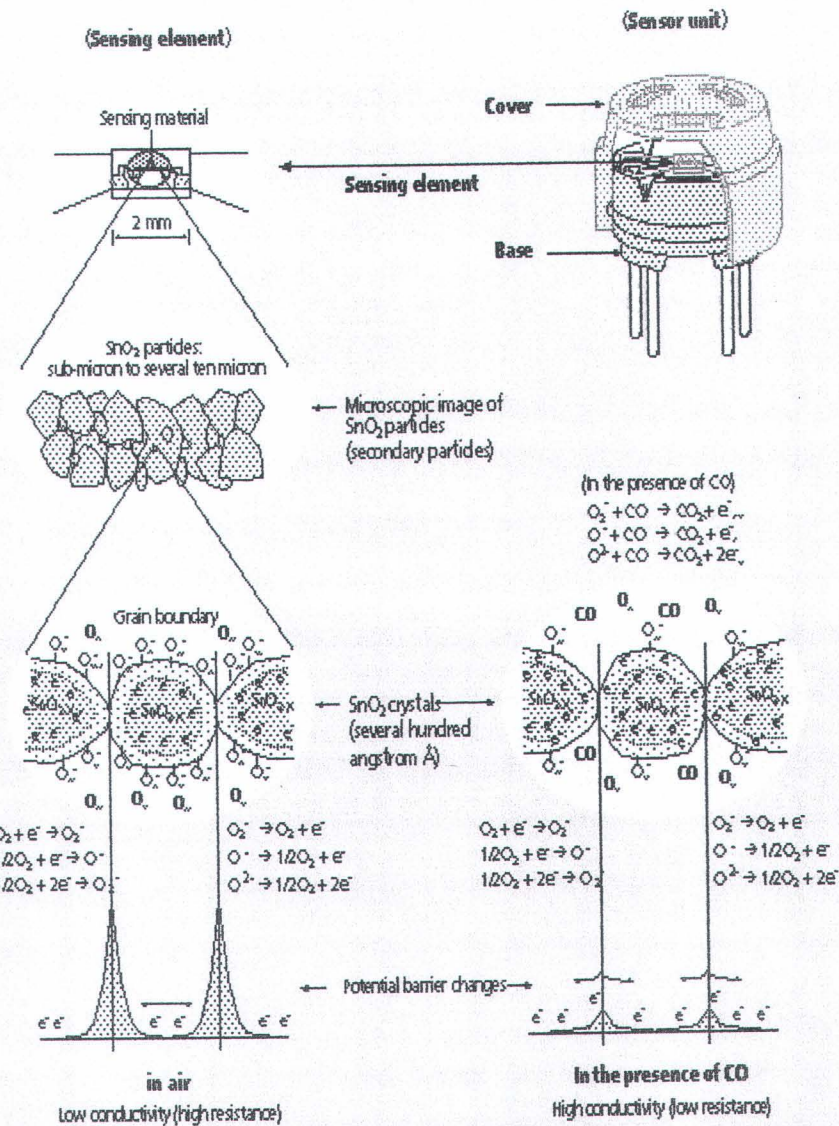
2.8 สมบัติการตอบสนองไออกทานอลของสารซิงก์ออกไซด์ [51]

สารซิงก์ออกไซด์เป็นสารประกอบโลหะออกไซด์ประเภทหนึ่งที่มีกระบวนการตอบสนองต่อกําชีด โดยปัจจัยสำคัญที่ทำให้เกิดการตรวจวัดกําชีดคือการทำปฏิกิริยาระหว่างกําชีดที่ผ่านเข้ามา กับออกซิเจนอิออนหรือรีแอคทีฟออกซิเจน (reactive oxygen) คือ O_2^- , O^{2-} และ O^- ที่มาจับบนพื้นผิวของโครงสร้างนาโนซิงก์ออกไซด์หรือเอทานอลเซนเซอร์ โดยเฉพาะที่บริเวณ grain boundary และพื้นผิวของเอทานอลเซนเซอร์ โดยมีตัวช่วยเร่งให้เกิดปฏิกิริยาได้ง่าย คืออุณหภูมิที่สูงขึ้นของเอทานอลเซนเซอร์ แสดงว่าออกซิเจนอิออนที่เก็บบนพื้นผิวจะเข้าอยู่กับอุณหภูมิของเอทานอลเซนเซอร์ และเมื่ออุณหภูมิลดลงออกซิเจนที่เก็บบนพื้นผิวเป็น O_2^- แต่ถ้าอุณหภูมิสูงขึ้น ออกซิเจนอิออน O_2^- ที่เก็บบนพื้นผิวจะแตกตัวเป็น O^{2-} หรือ O^- [52] โดยจะดึงอิเล็กตรอนพาหะ หรืออิเล็กตรอนในแถบนำ (conduction band) จากผิวน้ำของสารซิงก์ออกไซด์ แล้วเปลี่ยนสภาพเป็นไออกอน O^{2-} หรือ O^- ไปยังคิดที่พื้นผิว ดังสมการที่ 2.4 และสมการที่ 2.5 [53]



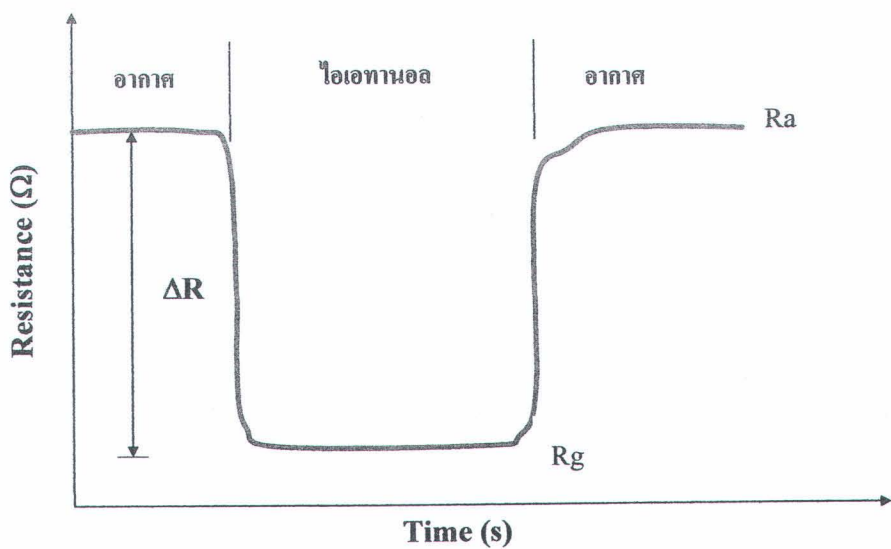
จากสมการเคมี ไอออนลบจะเข้ามายึดติดที่ผิวน้ำของสารประกอบโลหะออกไซด์ในบริเวณที่มี oxygen vacancies โดยการดึงเอาอิเล็กตรอนนี้ทำให้เกิดบริเวณปลดประจุ (depletion region) ขึ้นบนพื้นผิวของสารประกอบโลหะออกไซด์ มีผลทำให้กำแพงศักย์บริเวณผิวน้ำสูงขึ้น ซึ่งจะขัดขวางการนำไฟฟ้าส่งผลให้สภาพนำไฟฟ้าของสารมีค่าต่ำลง ดังรูปที่ 2.13 และเมื่อปล่อยไอเอทานอลเข้าไปในเลกุลของออกซิเจน ไอออนที่เกาะอยู่ที่ผิวของสารซึ่งก่อออกไซด์จะเข้าทำปฏิกิริยา กับโนไมเลกุลของเอทานอล ดังสมการที่ 2.6 และสมการที่ 2.7 [53]





รูปที่ 2.13 กำแพงศักย์บริเวณ grain boundary และพื้นผิวเมื่อเกิดการยึดติดของออกซิเจน และหลังจากที่กําชেขามาทำปฏิกิริยา กับออกซิเจน ไอออนแล้ว [52]

จากปฏิกิริยาดังกล่าวทำให้สภาพด้านท่านของสารซิงก์ออกไซด์มีค่าลดลงอย่างรวดเร็ว ขึ้นอยู่กับความเข้มข้นของไอออกซิเจนและอุณหภูมิของสารซิงก์ออกไซด์ และเมื่อหยุดให้ไอออกซิเจนกลับสารซิงก์ออกไซด์ สภาพความด้านท่านจะกลับไปสู่ภาวะเดิมอีกครั้ง ดังนั้นเมื่อ เก็บกราฟค่าความด้านท่านเทียบกับเวลาที่สารซิงก์ออกไซด์อยู่ในอากาศ และในบรรยายกาศ ไอออกซิเจนจะได้กราฟดังรูปที่ 2.14



รูปที่ 2.14 ความไวในการตอบสนอง และการคืนตัวของอุทานอลเซนเซอร์

2.8.1 สภาพไว (Sensitivity, S) [53]

สภาพไวเป็นตัวแปรที่สำคัญในการวัดความเข้มข้นของไออุทานอล ที่แสดงถึงอัตราการเปลี่ยนแปลงของความด้านทานไฟฟ้าของโครงสร้าง nano ซิงก์กอกไซด์เมื่อได้รับไออุทานอลซึ่งมีนิยามดังสมการ [53]

$$S_g = \frac{R_a}{R_g} = \frac{\Gamma_t k_{Eth}(T) [O_{ads}^{ion}]^b [CH_3CH_2OH]^b}{n_0} + 1 \quad (2.8)$$

เมื่อ R_a คือ ค่า electrical resistance ของอุทานอลเซนเซอร์ในอากาศ

R_g คือ ค่า electrical resistance ของอุทานอลเซนเซอร์ในกําชพสมรระหว่าง

ไออุทานอลกับอากาศ

Γ_t คือ ค่า time constant

$k_{Eth}(T)=Aexp(-E_a/k_B T)$ คือ ค่า reaction rate constant หรือ reaction rate coefficient เมื่อ E_a คือ ค่า activation energy ของปฏิกิริยา k_B คือ ค่า Boltzmann constant ($1.3806503 \times 10^{-23} \text{ m}^2 \text{ kg s}^{-2} \text{ K}^{-1}$) ส่วน T คือ ค่า absolute temperature

n_0 คือ ค่า electron density ของเซนเซอร์

โดยทั่วไปแล้ว ความไวในการตอบสนองต่อ ไออีเทานอลขึ้นกับอุณหภูมิ ดังนั้นอาจพิจารณาได้จาก 2 ตัวแปร ดังนี้คือ

1. ค่า reaction rate constant ($k_{Eth}(T)$) ระหว่าง adsorbed oxygen ions กับ ethanol molecules

2. ค่า ความหนาแน่นอิเล็กตรอนของเชนเชอร์ (n_0)

โดยทั้งสองค่าดังกล่าวเพิ่มขึ้นเมื่อความสัมพันธ์กันแบบเอ็กซ์โพเนนเชียล เมื่ออุณหภูมิเพิ่มขึ้น อย่างไรก็ตาม ความไวในการตอบสนองต่อ ไออีเทานอลของเอทานอลเชนเชอร์ เปรียบัตระกับค่า $k_{Eth}(T)$ แต่เปรียบกับค่า n_0 สำหรับเอทานอลเชนเชอร์ที่ทำจากซิงก์ออกไซด์เป็นฐานมีค่าอุณหภูมิทดสอบที่ดีที่สุดประมาณที่ 300°C ความสัมพันธ์ของค่าความเข้มข้น ไออีเทานอลเชิงใหม่ได้ดังนี้

$$S_g = aC_g^b + 1 \quad (2.9)$$

เมื่อ a คือ ตัวแปรควบคุม

b คือ ตัวเลขกำลัง โดยทั่วไปแล้วมีค่าเป็น 1 หรือ 0.5 [45] ขึ้นอยู่กับประจุบนพื้นผิวของ การเกิดปฏิกิริยา ถ้ามีค่าเป็น 1 ออกซิเจนบนพื้นผิวจะแตกตัวมีประจุเป็น -1 คือ O^- แต่ถ้ามีค่าเป็น 0.5 ออกซิเจนบนพื้นผิวจะแตกตัวมีประจุเป็น -2 คือ O^{2-}

C_g คือ ความเข้มข้นของ ไออีเทานอลในหน่วย ppm
ที่อุณหภูมิทดสอบที่เหมาะสมที่สุดจากสมการ 2.9 เบี่ยนสมการ ได้ใหม่ดังนี้

$$\log(S_g - 1) = \log a + b \log C_g \quad (2.10)$$

จากสมการที่ 2.10 ความสัมพันธ์ระหว่าง $\log(S_g - 1)$ กับ $\log C_g$ เป็นแบบเชิงเส้น โดยค่าความชันของกราฟจะเป็นค่า b ซึ่งค่า b จะเป็นค่าที่บ่งบอกถึง oxygen ion species ที่พื้นผิวของเอทานอล เชนเชอร์ที่ทำจากซิงก์ออกไซด์เป็นฐาน



2.8.2 เวลาการตอบสนอง (Response time, τ_{90}^-)

เวลาการตอบสนองเป็นตัวแปรที่แสดงถึงความไวหรือความรวดเร็วในการตอบสนองต่อไออุหานอลของหัววัด โครงสร้างนาโนซิจิก็อกไซด์ โดยที่ค่าความด้านทานไฟฟ้าของหัววัดจะเปลี่ยนแปลงไปตามเวลา (transient response) แล้วจะมีค่าคงที่ค่าหนึ่ง (steady state response) เวลาที่ค่าความด้านทานไฟฟ้าเปลี่ยนแปลงไปเท่ากับ 90 เปอร์เซ็นต์ ของผลต่างของค่าความด้านทานเดิมกับค่าความด้านทานไฟฟ้าที่คงที่แล้วในบรรยายกาศของไออุหานอล ดังสมการ

$$\tau_{90}^- = t_s - t_{0.9(R_a - R_g)} \quad (2.11)$$

เมื่อ t_s คือ เวลาที่เริ่มต้นปล่อยไออุหานอล

$t_{0.9(R_a - R_g)}$ คือ เวลาที่ค่าความด้านทานลดลงไป 90 เปอร์เซ็นต์ของค่าความด้านทานที่เปลี่ยนแปลงไป

2.8.3 เวลาการคืนตัว (Recovery time, τ_{90}^+)

เวลาการคืนตัวเป็นตัวแปรที่แสดงถึงความไวหรือความรวดเร็วในการคืนตัวของหัววัดของโครงสร้างนาโนซิจิก็อกไซด์ โดยที่ค่าความด้านทานไฟฟ้าของหัววัดจะเปลี่ยนแปลงไปตามเวลาจนมีค่าคงที่เท่ากับค่าความด้านทานเริ่มต้นก่อนการปล่อยไออุหานอล ดังสมการ

$$\tau_{90}^+ = t_{R_{\min}} - t_{0.9(R_a - R_g)} \quad (2.12)$$

เมื่อ $t_{R_{\min}}$ คือ เวลาที่เริ่มต้นปิดไออุหานอล

$t_{0.9(R_a - R_g)}$ คือ เวลาที่ค่าความด้านทานเพิ่มขึ้นไป 90 เปอร์เซ็นต์ของค่าความด้านทานที่เปลี่ยนแปลงไป

2.8.4 ปริมาณการตอบสนองของเชนเชอร์กีซ (Response %) [52]

เมื่อทราบค่าความต้านทานเริ่มต้นซึ่งเป็นความต้านทานในอากาศและค่าความต้านทานสุดท้ายในบรรยากาศของ ไออุตสาหกรรม สามารถหาปริมาณการตอบสนองของหัววัดได้จากการคำนวณดังนี้

$$\frac{R_a - R_g}{R_a} \times 100\% \quad (2.13)$$

ซึ่งปริมาณการตอบสนองนี้จะคำนวณออกมาในรูปเปอร์เซ็นต์ โดยปริมาณการตอบสนองของเชนเชอร์กีซจะแปรผันตรงกับอุณหภูมิของเชนเชอร์กีซและความเพิ่มขึ้นของ ไออุตสาหกรรม ซึ่งมีความเกี่ยวข้องกับการเปลี่ยนแปลงของออกซิเจนอิอนจาก O_2^- ไปเป็น O^{2-} และ O^-